

[Electronic source]. – : 2010.

<http://www.ncbi.nlm.nih.gov/pubmed?term=occupational%20diseases%20time%20lag&itool=QuerySuggestion>

15. В.В. Березуцкий, В.В. Макаренко, Радван Арафа Биссууни. Анализ производственного травматизма на трубопрокатном участке с применением статистического метода. – Харьков: Вестник НТУ «ХПИ». – 2007. – № 30. – С. 73–78. 16. В.В. Березуцкий В.В., С.Е. Гардер, В.В.Макаренко, Радван Арафа Биссууни. Анализ и математическое описание травм на трубопрокатном участке. – Харьков: Вестник НТУ «ХПИ». – 2009. – №15. – С. 14–20. 17. Радван Арафа Биссууни. Анализ профзаболеваний с учетом временного смещения событий: материалы Міжнародної науково-методичної конференції, «Безпека людина у сучасних умовах», 2–3 грудня 2010 р. – Харків: НТУ «ХПІ», 2010. – С. 257–259.

Поступила в редакцию 29.08.2011

**УДК 661.961.1**

**Б. А. ТРОШЕНЬКИН**, докт. техн. наук, ИПМаш Украины, Харьков

**Н. Н. ЗИПУНИКОВ**, канд. техн. наук, НТУ „ХПИ”, Харьков

**В. Б. ТРОШЕНЬКИН**, канд. техн. наук, ИПМаш Украины, Харьков

## **ИССЛЕДОВАНИЕ ПРОЦЕССА АВТОНОМНОГО ПРОИЗВОДСТВА ВОДОРОДА ИЗ ВОДЫ С ИСПОЛЬЗОВАНИЕМ СПЛАВОВ НА ОСНОВЕ МАГНИЯ И АЛЮМИНИЯ**

Исследован процесс вытеснения водорода из воды с использованием сплавов на основе магния и алюминия. Изучен характер изменений температуры в ходе реакции. Установлено влияние концентраций серной кислоты и щелочной среды на взаимодействие сплавов с водой.

Досліджено процес витискання водню з води із використанням сплавів на основі магнію та алюмінію. Вивчено характер змін температури у ході реакції. Встановлено вплив концентрації сірчаної кислоти та лужного середовища на взаємодію сплавів з водою.

Process of replacement of hydrogen from water with use of alloys based on magnesium and aluminium is researched. Character of change of reaction temperatures is investigated. Influence of concentration of a sulfuric acid and the alkaline environment on reaction of alloys with water is established.

**Введение.** По мере истощения естественных запасов топлива (природный газ, нефть, уголь) основным энергоносителем станет водород. На автономных объектах, в частности на метеостанциях и аэрологических обсерваториях, применяют силиколевый способ получения водорода из воды. Для этого используют выпускаемый промышленностью сплав ферросилиция (ФС 75) [1]. Совершенствование процесса газогенерирования заключается в подборе сплавов, более эффективно взаимодействующих с водой.

**Постановка задачи.** Ранее были исследованы кинетические и термодинамические закономерности взаимодействия с водой сплавов ферросиликоалюминия (ФСА) полученных из неорганической части низкокалорийных углей [2], алюминиевых сплавов (А98КаМг и АВ86) в состав которых входят примеси магния и сплавов ферросилиция с добавками бария и кальция (ФС 75 Ба1, ФС 75 Ба4, ФС 90 Ба4, ФС 90) [3].

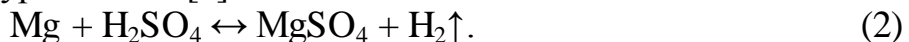
В настоящей работе изучен процесс взаимодействия с водой следующих сплавов (масс. %): МПФ - Mg - 99.5, Fe - 0.35, Si - 0.15 (ГОСТ 6001-79); А85Л10 - Al - 85 %, Li - 10 %, Fe - 5 %.

Основные кинетические исследования проведены в металлическом реакторе

$(V_p = 1,13 \cdot 10^{-3} \text{ м}^3)$ . Магний начинает разлагать воду при температуре более  $100^\circ\text{C}$ , вследствие образования малорастворимого гидроксида магния по уравнению (1) [4]



Так как растворы щелочей с магнием практически не взаимодействуют, опыты проводили с раствором серной кислоты различной концентрации с получением водорода по уравнению [4]



**Численные результаты и их обсуждение.** Основные результаты исследований химической активности сплава МПФ представлены в табл. 1 и на рис. 1. Номера опытов табл. 1 соответствуют номерам кривых на рис. 1.

Таблица 1. Зависимость скорости выделения водорода и полноты реакции сплава МПФ от концентрации кислоты и температуры. Дисперсный состав  $(0,15 - 0,6) \cdot 10^{-3} \text{ м}, m = 5 \cdot 10^{-3} \text{ кг}$

№ о п ы т а	Концентрация кислоты, %	Начальная температура реакции, $^\circ\text{C}$	Время реакции, $\tau \cdot 10^{-3}, \text{ с}$	Максимальная скорость выделения водорода		Полнота реакции, $\alpha_t$
				$W \cdot 10^3, \text{ м}^3/(\text{кг} \cdot \text{с})$	$W \cdot 10^5, \text{ м}^3/(\text{м}^2 \cdot \text{с})$	
1	2,5	110	0,3	18,6	45,9	0,67
2	5		0,18	24,5	60,5	0,96
3	7,5		0,14	46,3	114,4	0,97
4	10		0,012	85	210	0,99

Сравнение данных показывает, что при увеличении концентрации серной кислоты от 2,5 до 10 % скорость реакции возрастает в 4,5 раза и полнота реакции достигает своего максимума  $\alpha_t = 0,99$ .

Опыты со сплавом на основе алюминия с добавкой лития (А85Л10) проведены с водой и водным раствором едкого натра при различной начальной температуре. Результаты исследований приведены в табл. 2 и на рис. 2.

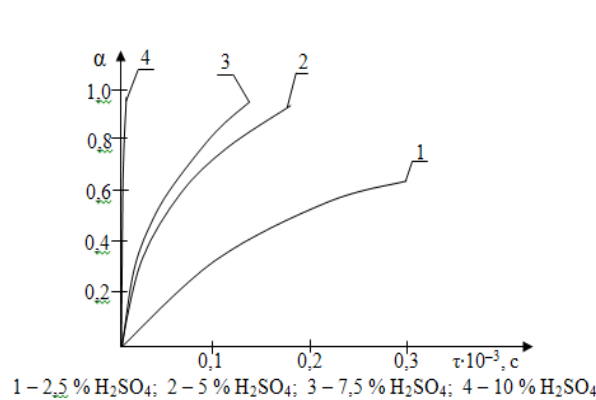


Рис. 1. Зависимость полноты реакции от времени  $\tau$ , при различной концентрации серной кислоты и температуре  $110^\circ\text{C}$  для

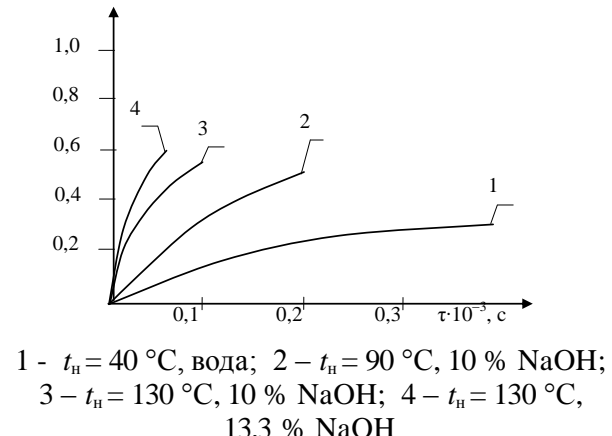


Рис. 2. Зависимость полноты реакций сплава А85Л10 от времени  $\tau$  при различной температуре и

## сплава МПФ

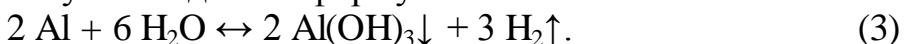
## концентрации щелочи

Таблица 2. Зависимость скорости выделения водорода и полноты реакции сплава А85Л10 от концентрации щелочи и температуры. Дисперсный состав  $0,63 \cdot 10^{-3}$  м,  $m = 5 \cdot 10^{-3}$  кг

№ опыта	Концентрация щелочи, %	Начальная температура реакции $^{\circ}\text{C}$	Время реакции, $\tau \cdot 10^{-3}$ , с	Максимальная скорость выделения водорода		Полнота реакции, $a_r$
				$W \cdot 10^3$ , $\text{м}^3/(\text{кг} \cdot \text{с})$	$W \cdot 10^5$ , $\text{м}^3/(\text{м}^2 \cdot \text{с})$	
2	10	90	0,2	3,2	5,5	0,54
3	10	130	0,1	7,6	13,1	0,57
4	13,3	130	0,07	8,5	14,6	0,6

Из представленных данных видно, что увеличение начальной температуры реакции сплава А85Л10 с 90 до 130  $^{\circ}\text{C}$  приводит как к увеличению полноты реакции, так и к значительному возрастанию скорости вытеснения водорода из воды - почти в три раза (табл.2).

Алюминий взаимодействует с водой по формуле



Процесс взаимодействия лития с водой сопровождается образованием щелочной среды



Данное обстоятельство позволяет разрушить образовавшийся гидрооксид алюминия, который интенсивно поглощает воду и препятствует развитию реакционной поверхности.

**Выходы.** Исследован процесс получения водорода из воды с использованием сплавов на основе магния и алюминия.

При работе со сплавами на основе магния постепенное увеличение концентрации серной кислоты позволяет значительно увеличить скорость реакции и объем выделившегося водорода.

Наличие щелочных металлов в сплавах на основе алюминия при взаимодействии с водой приводит к образованию щелочной среды, что позволяет интенсифицировать процесс выделения водорода.

Удешевление процесса образования водорода возможно за счет получения необходимых сплавов из углеотходов, в составе которых присутствуют примеси Mg (1-10 %) и Li (1-5 %) [5]. Поэтому исследование реакционной способности магния и лития в составе различных сплавов имеет большую перспективу.

**Список литературы:** 1. Инструкция по безопасной эксплуатации баллонных газогенераторов АВГ-45 и баллонов с водородом. - М.: Гидрометеоиздат, 1978. - 32 с. 2. Трошенъкин В. Б. Совершенствование процесса и реактора для производства водорода из воды при помощи сплавов, получаемых из неорганической части углей/Автореф.дис. ... канд. техн. наук. - Х.: ХГПУ, 1999. - 17 с. 3. Зипунников Н. Н. Разработка процесса получения водорода из воды с использованием сплавов на основе кремния и алюминия/Н. Н. Зипунников, В. Б. Трошенъкин//Інтегровані технології та енергозбереження. - 2008. - № 3. - С. 51 - 55. 4. Глинка Н. Л. Общая химия. Учебное пособие для вузов/Под ред. В. А. Рабиновича. - Л.: Химия, 1983. - 704 с. 5. Справочник по содержанию малых элементов в товарной продукции угледобывающих и углеобогатительных предприятий Донецкого бассейна. - Днепропетровск: Укр. Гос. Ин-т минеральных ресурсов ДО, 1994. - 187 с.